

---

## СПЕКТРОСКОПИЯ КОНДЕНСИРОВАННОГО СОСТОЯНИЯ

---

УДК 535.5; 53.082.5; 681.7

# УПРАВЛЕНИЕ СПЕКТРОМ ПРОПУСКАНИЯ РЕЗОНАНСНОГО ОДНОМЕРНОГО ФОТОННОГО КРИСТАЛЛА

© 2010 г. С. Я. Ветров\*, И. В. Тимофеев\*\*, А. Ю. Авдеева\*

\* Сибирский федеральный университет, 660074 Красноярск, Россия

\*\* Институт физики им. Л. В. Киренского Сибирского отделения РАН, Академгородок, 660036 Красноярск, Россия

E-mail: avdeeva-anastasiya@yandex.ru

Поступила в редакцию 09.02.2010 г.

Рассматривается кристалл, представляющий собой слоистую среду, состоящую из чередующихся слоев двух материалов, одним из которых является резонансно поглощающий газ. Показано, что сочетание дисперсии атомарного газа с дисперсией структур с фотонными запрещенными зонами позволяет эффективного управлять спектром пропускания мод *s*- и *p*-поляризаций подобных комбинированных систем. Установлена высокая чувствительность спектра к положению резонансной частоты газа относительно края запрещенной зоны, к изменению давления газа. Изучены спектры пропускания, отражения и поглощения резонансного фотонного кристалла при угле падения, равном углу Брюстера затравочного фотонного кристалла. Обсуждаются возможные применения установленных особенностей дисперсии резонансных фотонных кристаллов.

### ВВЕДЕНИЕ

Фотонные кристаллы (ФК) представляют собой, как правило, искусственные структуры с периодически меняющейся в пространстве диэлектрической проницаемостью. Из-за пространственной периодичности электромагнитные волны в таких структурах имеют зонный характер спектра, подобно тому, как периодический в пространстве потенциал приводит к зонному спектру электронов. Фотонные кристаллы благодаря наличию фотонных запрещенных зон и областей аномального возрастания плотности фотонных состояний представляют несомненный интерес с точки зрения эффективного управления характеристиками лазерного излучения [1–3].

На основе фотонно-кристаллических материалов созданы новые типы волноводов [4, 5], предложены способы увеличения эффективности нелинейно-оптических процессов [6–8], обсуждаются идеи по развитию элементной базы оптоэлектронной техники и информационных технологий [9].

Спектральные свойства ФК можно дополнительно существенно изменять, помещая внутрь периодической структуры резонансные среды (атомные или молекулярные газы). Однако эти изменения проявляются лишь в узкой области частот вблизи резонансной частоты, поэтому такой фотонный кристалл называется резонансным фотонным кристаллом (РФК). Простейшей реализацией РФК являются слоистые структуры, состоящие из чередующихся слоев двух материалов, в качестве одного из которых рассматривается резонансно поглощающий газ. Сочетание резо-

нансной дисперсии газа с дисперсией ФК-структур приводит к качественному изменению спектров ФК, появляются узкие полосы прозрачности в фотонной запрещенной зоне, а также дополнительные запрещенные зоны в сплошном спектре ФК-структуры. Спектральные свойства таких РФК изучались в работах [10, 11] для нормально-го падения излучения на образец. Угловая зависимость спектра дополнительного пропускания РФК изучена в [12].

В данной работе в отличие от [12] получено существенное увеличение коэффициента пропускания РФК за счет измененных параметров структуры. Показано, в частности, что спектр пропускания весьма чувствителен к вариации угла падения. Установлено, что существует угол падения, при котором в сплошном спектре пропускания ФК возникает дополнительная запрещенная зона. Кроме того, исследованы спектры пропускания, отражения и поглощения РФК при угле падения, равном углу Брюстера (углу полной поляризации) затравочного фотонного кристалла.

### ВЫРАЖЕНИЕ ДЛЯ КОЭФФИЦИЕНТОВ ПРОПУСКАНИЯ, ОТРАЖЕНИЯ И ПОГЛОЩЕНИЯ

Рассмотрим ФК-структуру, представляющую собой конечную слоистую среду, в которой одним из чередующихся изотропных слоев является резонансный газ. Рассматриваемая структура (рис. 1) характеризуется диэлектрическими проницаемостями слоев, соответственно изотропной среды и резонансного газа  $\epsilon_1$  и  $\epsilon_2(\omega)$ . Толщины слоев  $d_1$  и

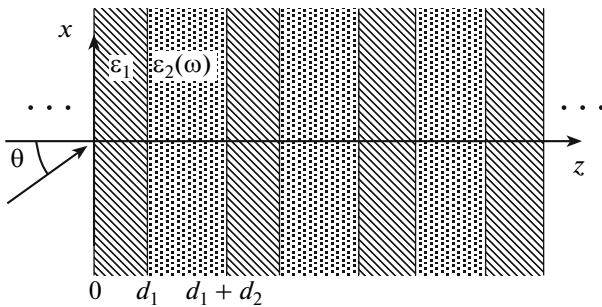


Рис. 1. Схематическое представление периодической слоистой среды.

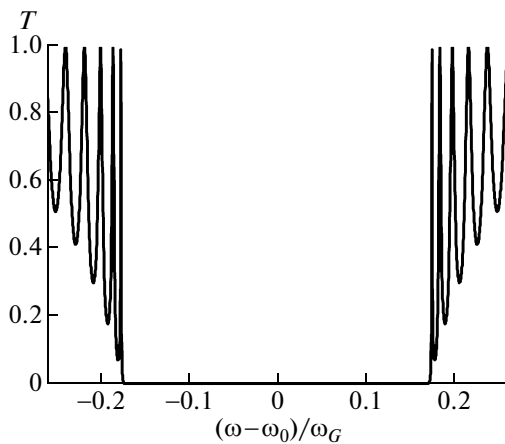


Рис. 2. Частотная зависимость коэффициента пропускания для волн *p*-поляризации. Толщина рассматриваемого РФК, содержащего 30 периодов, составляет 3 мкм,  $\epsilon_1 = 3.0$ ,  $\epsilon_2 = 1.0$ .

$d_2$ , период структуры  $L = d_1 + d_2$ . Комплексная диэлектрическая проницаемость среды в модели Лоренца дается выражением

$$\epsilon_2(\omega) = 1 + \frac{\omega_p^2}{\omega_0^2 - \omega^2 + i\gamma\omega}, \quad (1)$$

где  $\omega_p^2 = 4\pi Nfe^2/m$ ,  $e$  – заряд электрона,  $m$  – масса электрона,  $N$  – плотность резонансных атомов,  $f$  – сила осциллятора,  $\gamma$  – ширина линии,  $\omega_0$  – центральная частота резонанса,  $\omega$  – частота излучения.

Спектр пропускания волн *p*-поляризации, распространяющихся в плоскости  $xz$  РФК, исследуем методом трансфер-матрицы [13]. Для рассматриваемой нами структуры распределение электрического поля в слоях имеет вид

$$E_x(n, t) = [A_n e^{i\alpha_n(z-z_n)} + B_n e^{-i\alpha_n(z-z_n)}] e^{-i\omega t}, \quad (2)$$

где  $A_n$ ,  $B_n$  – амплитуды соответственно падающей и отраженной волн в  $n$ -м слое,  $\alpha_n = \omega/c\sqrt{\epsilon_n - \sin^2\theta}$ ,  $\theta$  – угол падения излучения. Распределение магнитного поля в слоях дается выражением

$$H_y(n, t) = [\sqrt{\epsilon(n)} A_n e^{i\alpha_n(z-z_n)} - \sqrt{\epsilon(n)} B_n e^{-i\alpha_n(z-z_n)}] e^{-i\omega t}. \quad (3)$$

Из непрерывности электрического  $E_x$  и магнитного  $H_y$  полей на границе раздела слоев  $z = z_{n-1}$  получаем систему уравнений, которая может быть представлена как матричное уравнение

$$\begin{pmatrix} A_{n-1} \\ B_{n-1} \end{pmatrix} = T_{n-1,n} \begin{pmatrix} A_n \\ B_n \end{pmatrix}, \quad (4)$$

где трансфер-матрица

$$T_{n-1,n} = \frac{1}{2} \begin{pmatrix} (1+h)e^{-i\alpha_n\gamma_n} & (1-h)e^{i\alpha_n\gamma_n} \\ (1-h)e^{-i\alpha_n\gamma_n} & (1+h)e^{i\alpha_n\gamma_n} \end{pmatrix}. \quad (5)$$

Здесь  $h = \sqrt{\epsilon_n - \sin^2\theta}/\sqrt{\epsilon_{n-1} - \sin^2\theta}$ , толщины слоев  $\gamma_n = z_n - z_{n-1}$ ,  $n = 1, 2, \dots, N$ . Из (4) следует связь амплитуд волн соответственно падающей на РФК и отраженной от него ( $A_0, B_0$ ), с амплитудой волны  $A_s$ , вышедшей из образца, при условии, что отражение волн, с правой стороны образца РФК отсутствует ( $B_s = 0$ ),

$$\begin{pmatrix} A_0 \\ B_0 \end{pmatrix} = \hat{M} \begin{pmatrix} A_s \\ 0 \end{pmatrix}, \quad (6)$$

где

$$\hat{M} = \hat{T}_0 \hat{T}_1 \dots \hat{T}_{N-1,N} \hat{T}_{N,S}, \quad (7)$$

$S = N + 1$ ,  $\gamma_{N+1} = 0$ . Окончательно, используя (7), получаем соответственно коэффициенты пропускания и отражения

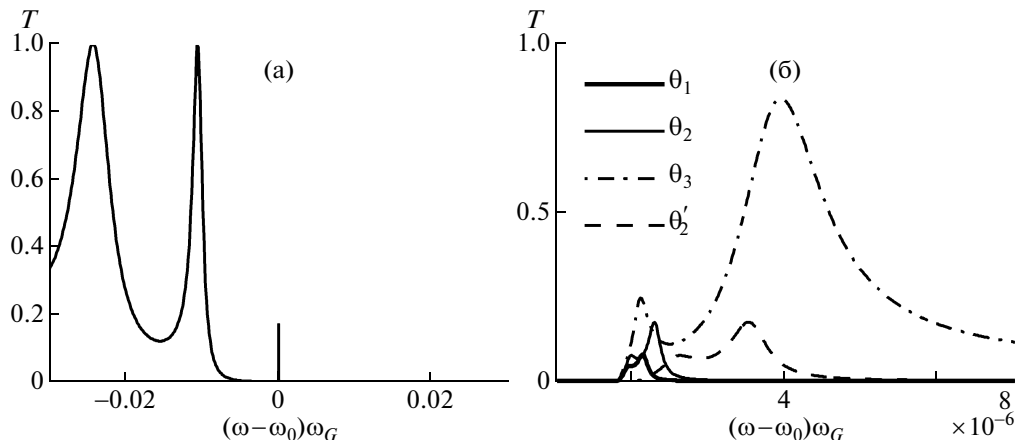
$$T = 1/\left|\hat{M}_{11}\right|^2, \quad R = \left|\hat{M}_{11}\right|^2 / \left|\hat{M}_{21}\right|^2, \quad (8)$$

где  $\hat{M}_{11}, \hat{M}_{21}$  – элементы матрицы  $\hat{M}$ . Коэффициент поглощения  $A = 1 - T - R$ .

## РЕЗУЛЬТАТЫ РАСЧЕТА

Исследуем теперь особенности спектра пропускания РФК с помощью численного решения уравнения для коэффициента пропускания (8). Для численных расчетов были выбраны параметры ФК, близкие к используемым в работе [10]:  $\epsilon_1 = 3.0$ ,  $d_1\sqrt{\epsilon_1} = d_2\sqrt{\epsilon_2}$ , период решетки  $L = d_1 + d_2 = 100$  нм, число периодов – 30, и Hg как резонансный газ, для которого  $\gamma/\omega_G = 1.65 \times 10^{-7}$ ,  $\omega_p^2/\omega_G^2 = 7 \times 10^{-8}$ , где  $\omega_G = \pi c/L_0$  – характерная частота запрещенной зоны,  $L_0 = d_1\sqrt{\epsilon_1} + d_2\sqrt{\epsilon_2}$  – оптическая толщина. Резонансу на длине волны  $\lambda_0 = 253.6$  нм соответствует ширина линии  $\gamma = 1.2 \times 10^9$  Гц.

На рис. 2 представлена затравочная зонная структура спектра пропускания ФК с  $\epsilon_1 = 3.0$ ,  $\epsilon_2 = 1.0$  для волн *p*-поляризации в случае нормального падения излучения на образец. Первая запрещенная зона такого ФК заключена в диапазоне длин волн от 215.8 до 307.4 нм, в центре зоны лежит частота  $\omega_0$ . Учет частотной дисперсии ди-

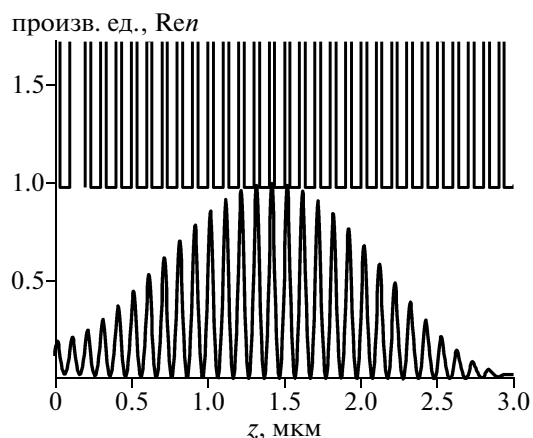


**Рис. 3.** Частотная зависимость коэффициента дополнительного пропускания  $T$  в первой запрещенной зоне резонансного фотонного кристалла. а, б – соответственно спектр для волн  $p$ -поляризации вблизи коротковолнового края запрещенной зоны с дополнительным пиком пропускания и структура пиков. Углы падения соответственно для пиков 1, 2, 3:  $\theta_1 = 35^\circ 12'$ ,  $\theta_2 = 35^\circ 30'$ ,  $\theta_3 = 36^\circ 12'$ , плотность резонансных атомов  $N = 4 \times 10^{14} \text{ см}^{-3}$ ,  $\gamma = 1.65 \times 10^{-7} \omega_G$ . Штриховая линия рассчитана для угла  $\theta'_2$ , когда  $N = 12 \times 10^{14} \text{ см}^{-3}$ ,  $\gamma = 4.95 \times 10^{-7} \omega_G$ . Диэлектрическая проницаемость  $\epsilon_1 = 3.0$ ,  $\epsilon_2 = \epsilon_2(\omega)$ , остальные параметры те же, что и для рис. 2.

электрической проницаемости (1) приводит к качественным изменениям в структуре затравочного спектра пропускания.

Сочетание дисперсии ФК-структуры с резонансной дисперсией газа приводит к появлению в запрещенной зоне дополнительной узкой полосы пропускания, которая незаметна в масштабе рис. 2. На рис. 3а для примера приведена частотная зависимость коэффициента дополнительного пропускания РФК для угла падения  $\theta_2 = 35^\circ 30'$ . Увеличение угла падения излучения приводит в соответствии с условием Брэгга к сдвигу низкочастотного края запрещенной зоны к резонансной частоте  $\omega_0$  и возрастанию коэффициента пропускания. Из рис. 3б видно, что коэффициент пропускания весьма чувствителен к изменению угла  $\theta$ , когда край запрещенной зоны близок к  $\omega_0$ . Увеличение угла падения от  $35^\circ 12'$  до  $36^\circ 12'$ , т.е. на  $1^\circ$ , приводит к возрастанию коэффициента пропускания в 27 раз, а максимум полосы дополнительного пропускания достигает 83%. Ширина линии (полная ширина на полувысоте) при увеличении  $\theta$  возрастает. Для  $\theta_2$  она сравнима с шириной резонансной линии  $\gamma$ , а для  $\theta_3$  на порядок больше. Отметим, что без учета дисперсии атомного газа ( $\epsilon_2 = 1.0$ ) пропускание при угле  $36^\circ 12'$  равно 3%.

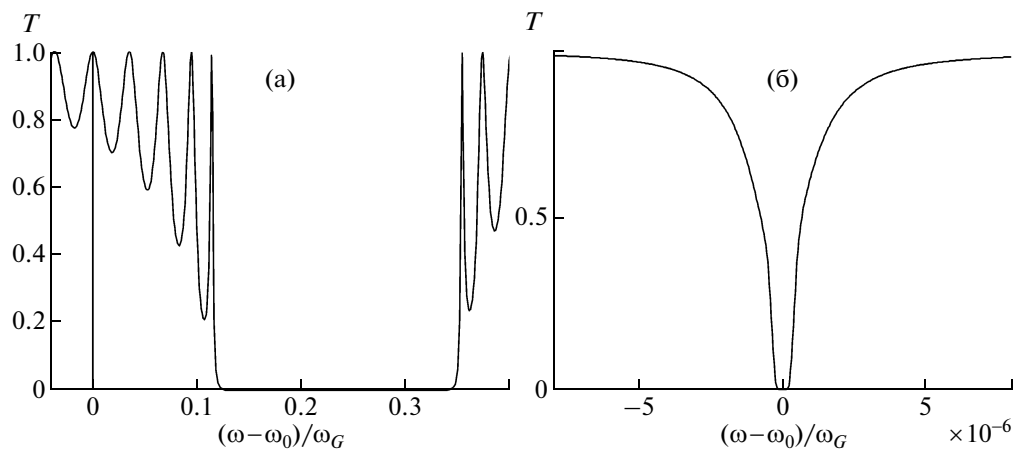
При увеличении в 3 раза плотности резонансного газа затухание также увеличивается в 3 раза в случае ударного механизма уширения. При этом спектр полосы пропускания, соответствующей  $\theta'_2$  (штриховая кривая на рис. 3б), сдвигается от резонанса, ширина полосы возрастает в 3 раза, а коэффициент пропускания в максимуме полосы не меняется.



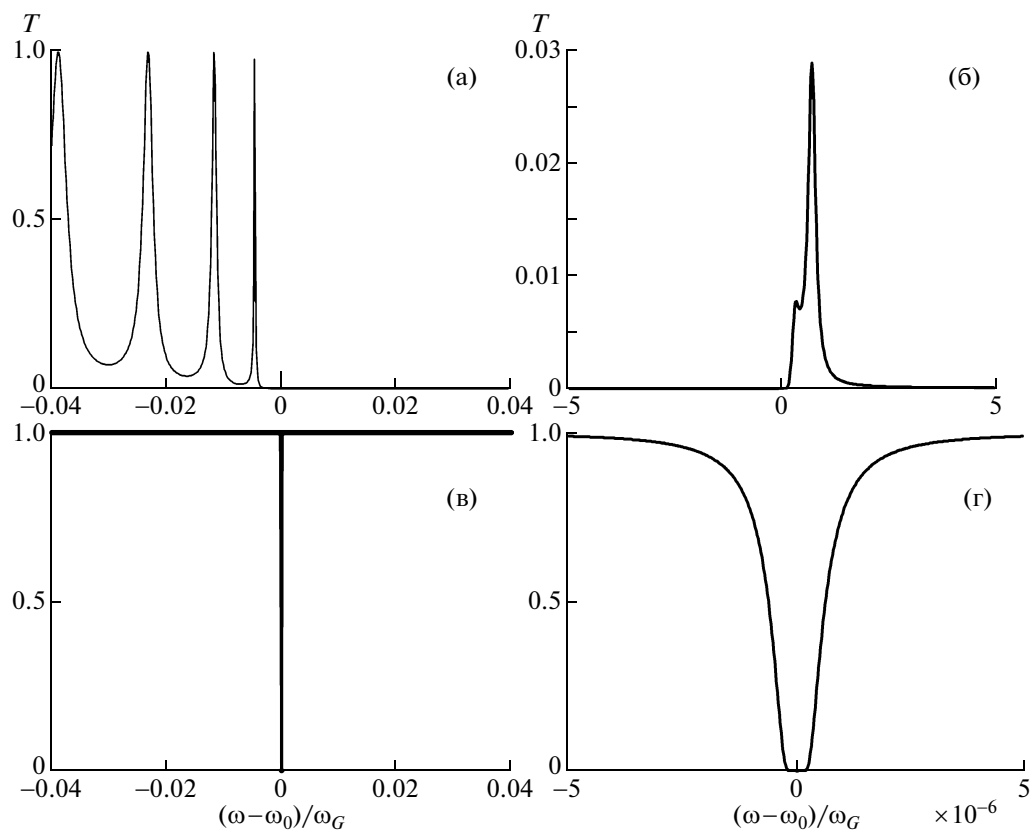
**Рис. 4.** Распределение показателя преломления  $Ren$  по глубине РФК вдоль оси  $z$ , а также интенсивности поля  $I$ , нормированной на ее максимальное значение внутри РФК. Частота поля соответствует максимуму пропускания при угле падения  $\theta_2 = 35^\circ 30'$ . Остальные параметры те же, что и для рис. 3.

На рис. 4 для примера приведены распределения показателей преломления и интенсивности поля в образце для угла  $\theta = 35^\circ 30'$ . Частота поля соответствует максимуму коэффициента пропускания при угле падения  $\theta = 35^\circ 30'$ . Из рисунка видно, что амплитуда поля максимальна внутри образца и падает по мере приближения к правой границе раздела РФК с вакуумом. Электрическое поле почти полностью локализовано в слоях с высоким показателем преломления.

Для рассматриваемой структуры РФК существует угол падения, при котором низкочастотный край запрещенной зоны сдвигается настолько,



**Рис. 5.** Частотная зависимость коэффициента пропускания поглощающего РФК от отстройки частоты  $\omega$  от резонансной частоты газа  $\omega_0$ . а – дополнительная запрещенная зона в сплошном спектре на частоте  $\omega = \omega_0$ . б – кривая пропускания, соответствующая дополнительной запрещенной зоне. Плотность резонансных атомов  $N = 4 \times 10^{14} \text{ см}^{-3}$ ,  $\gamma = 1.65 \times 10^{-7} \omega_G$ ,  $\theta = 45^\circ$ . Остальные параметры те же, что и для рис. 3.



**Рис. 6.** Частотная зависимость коэффициента пропускания волн  $s$ - и  $p$ -поляризаций поглощающего РФК от отстройки частоты  $\omega$  от резонансной частоты газа  $\omega_0$ . а, б – соответственно спектр для волн  $s$ -поляризации вблизи коротковолнового края запрещенной зоны с дополнительным пиком пропускания при  $\omega = \omega_0$  и структура пика. в, г – соответственно спектр для волн  $p$ -поляризации с единственной запрещенной зоной и ее структурой. Плотность резонансных атомов  $N = 4 \times 10^{14} \text{ см}^{-3}$ ,  $\gamma = 1.65 \times 10^{-7} \omega_G$ , угол падения  $\theta = \theta_B = 60^\circ$ . Остальные параметры те же, что и для рис. 5.

что резонансная частота оказывается в сплошном спектре. В этом случае сочетание резонансной дисперсии газа с дисперсией ФК-структуры приводит к появлению дополнительной запрещенной зоны в спектре пропускания. Этот эффект иллюстрируется на рис. 5. Дополнительная запрещенная зона приведена для  $\theta = 45^\circ$ , когда резонансная частота  $\omega_0$  совпадает с частотой побочного пятого максимума (рис. 5а). Дополнительная запрещенная зона весьма узкая, в масштабе рис. 5б видно, что ее ширина на порядок больше ширины резонансной линии  $\gamma$ .

Отметим, что установленные выше особенности в спектрах пропускания РФК для волн *p*-поляризации сохраняются и для волн *s*-поляризации. Запрещенная зона для волн *p*-поляризации сокращается до нуля при угле падения излучения на ФК, равном углу Брюстера  $\theta_B$ , поскольку при этом угле френелевское отражение на границе раздела исчезает и коэффициент пропускания  $T = 1$ . В нашей модели для  $\varepsilon_1 = 3.0$ ,  $\varepsilon_2 = 1.0$ ,  $\operatorname{tg} \theta_B = n_1 = \sqrt{3}$ , следовательно, угол Брюстера  $\theta_B = 60^\circ$ . На рис. 6 представлены спектры пропускания волн *s*- и *p*-поляризации поглащающего резонансного фотонного кристалла для угла падения  $\theta = \theta_B$ . Из рисунка видно, что структура спектров пропускания для волн *s*- и *p*-поляризаций не одинакова. При частоте излучения, равной резонансной частоте газа ( $\omega = \omega_0$ ), коэффициенты пропускания равны нулю, т.е. излучение любой поляризации не проходит через кристалл. В спектре пропускания волн *s*-поляризации появляется дополнительный пик слабой интенсивности вблизи низкочастотного края запрещенной зоны на частоте  $\omega \approx \omega_0$  (рис. 6а). Структура этого пика видна в масштабе рис. 6б. В спектре пропускания волн *p*-поляризации все запрещенные зоны исчезают, кроме одной запрещенной зоны (рис. 6в), ширина которой на порядок больше ширины резонансной линии  $\gamma$  (рис. 6г). Частота в центре запрещенной зоны практически совпадает с резонансной частотой газа  $\omega_0$ .

На рис. 7 приведены частотные зависимости коэффициента пропускания (см. рис. 6г), а также отражения и поглощения РФК для волн *p*-поляризации. Из рисунка видно, что запрещенная зона в спектре пропускания при угле падения  $\theta = \theta_B$  обусловлена в основном поглощением излучения, которое имеет максимальное значение при  $\omega = \omega_0$ . Отраженная волна практически отсутствует.

## ЗАКЛЮЧЕНИЕ

Проведен расчет спектральных свойств наполненной резонансным газом одномерной структуры с фотонными запрещенными зонами. Вычис-

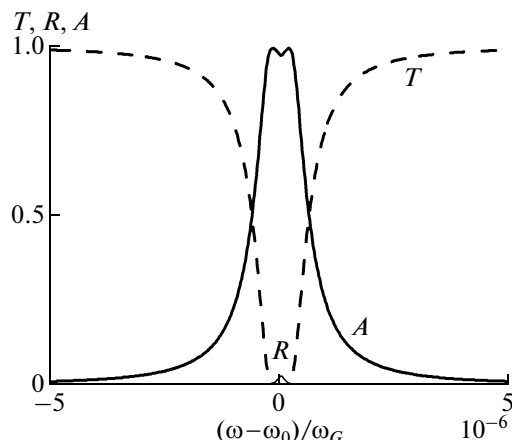


Рис. 7. Коэффициенты пропускания  $T$ , отражения  $R$  и поглощения  $A$  для волн *p*-поляризации как функции частоты. Угол падения  $\theta = 60^\circ$ , остальные параметры те же, что и для рис. 6.

ления показывают, что имеются реальные возможности эффективного управления параметрами дополнительного пропускания в запрещенной зоне РФК, а также параметрами дополнительных запрещенных зон путем варьирования плотности резонансного газа и/или угла падения светового луча. Из-за того, что полоса пропускания возникает в ФЗЗ, в которой излучение распространяться не может, можно достичь высоких значений контраста фильтрации оптического излучения. Показано также, что спектры пропускания волн *s*- и *p*-поляризаций при угле падения, равном углу Брюстера затравочного ФК, качественно отличаются в узкой области частот вблизи резонансной частоты газа. При частоте падающего света, равной резонансной частоте газа, интенсивность проходящего света падает до нуля. В силу этого имеются возможности для дополнительного управления поляризацией и пропусканием света. Кроме того, РФК могут быть перспективны для создания спектральных призм с увеличенной дисперсией и узкополосных фильтров с управляемыми характеристиками, для построения новых типов оптических устройств.

Работа выполнена при поддержке грантов: НШ-7810.2010.3; РНП.2.1.1.3455; № 27.1 и № 3.9.1 РАН; № 5 и № 144 СО РАН; г/к 02.740.11.0220 по ФЦП “Научные и научно-педагогические кадры инновационной России”.

## СПИСОК ЛИТЕРАТУРЫ

1. Joannopoulos J.D., Meade R.D., Winn J.N. Photonic Crystals. Princeton: Princeton University Press, 1995. 137 p.
2. Ярив А., Юх П. Оптические волны в кристаллах. М.: Мир, 1986. 616 с. (Yariv A., Yeh P. Optical Waves

- in Crystals: Propagation and Control of Laser Radiation. New York: Wiley, 1984.)
3. Шабанов В.Ф., Ветров С.Я., Шабанов А.В. Оптика реальных фотонных кристаллов: жидкокристаллические дефекты, неоднородности. Новосибирск: Изд-во СО РАН, 2005. 240 с.
  4. Желтиков А.М. // УФН. 2000. Т. 170. № 11. С. 1203.
  5. Painter O., Zec R., Yariv A. et al. // Science. 1999. Т. 264. Р. 1819.
  6. Мартемьянов М.Г., Долгова Т.В., Федягин А.А. // ЖЭТФ. 2004. Т. 125. В. 3. С. 527–542.
  7. Wong F., Zhu S.N., Li K.F. et al. // Appl. Phys. Lett. 2006. V. 88. P. 071102.
  8. Vetrov S.Ya., Timofeev I.V., Shabanov A.V. // Phys. Stat. Sol. (RRL). 2007. V.1. № 3. P. 92.
  9. Busch K., Lölkes S., Wehrspohn R.B., Föll H. Photonic Crystals: Advances in Design, Fabrication, and Characterization. Weinheim: Wiley-VCH, 2004. 354 p.
  10. Желтиков А.М., Наумов А.Н., Баркер П., Майлс Р.Б. // Опт. и спектр. 2000. Т. 89. № 2. С. 309–313.
  11. Artoni M., Rossa G. La, Bassani F. // Phys. Rev. E. 2005. V. 72. P. 046604.
  12. Ветров С.Я., Тимофеев И.В., Кутукова А.Ю. // Опт. и спектр. 2009. Т. 106. № 5. С. 840–844.
  13. Yeh P. // J. Opt. Soc. Am. 1979. V. 69. № 5 P. 742.